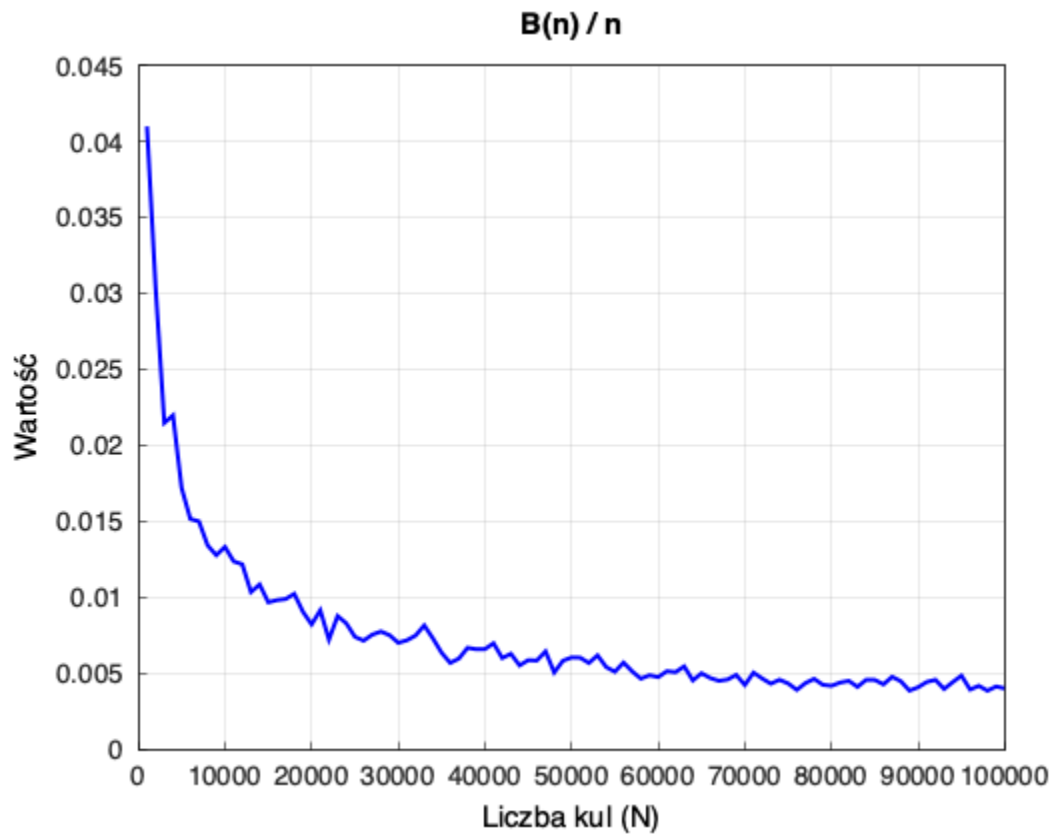
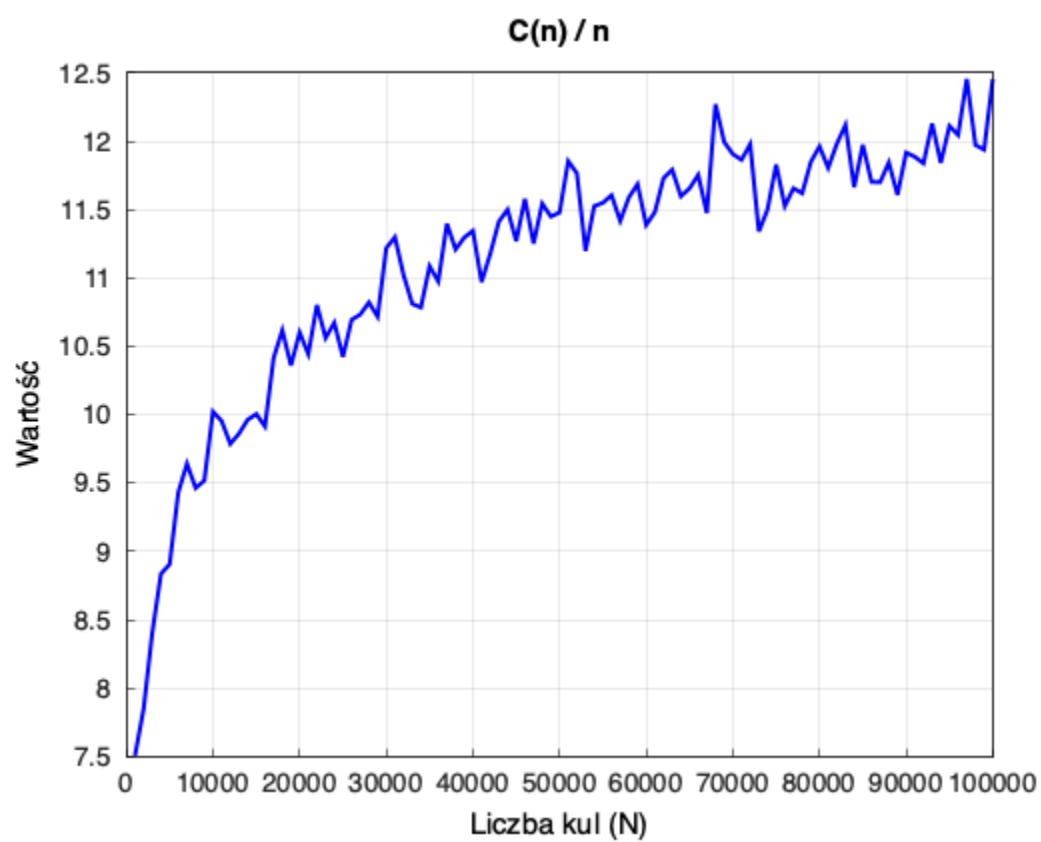
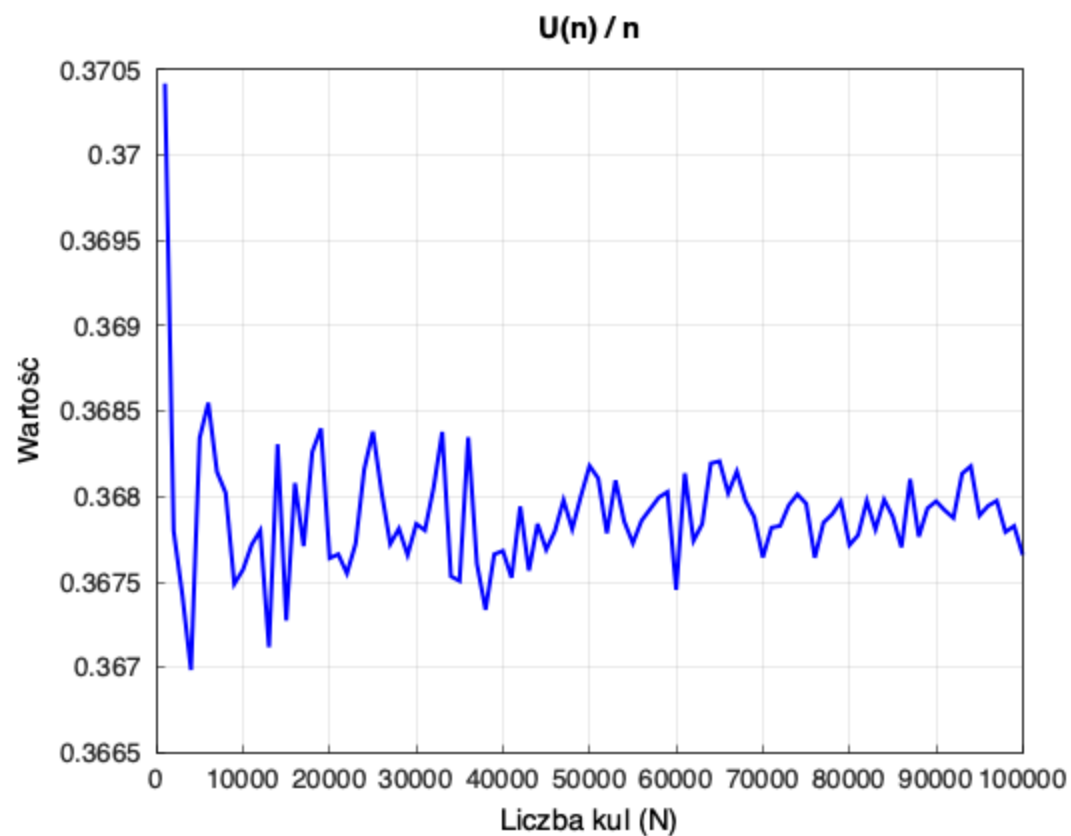
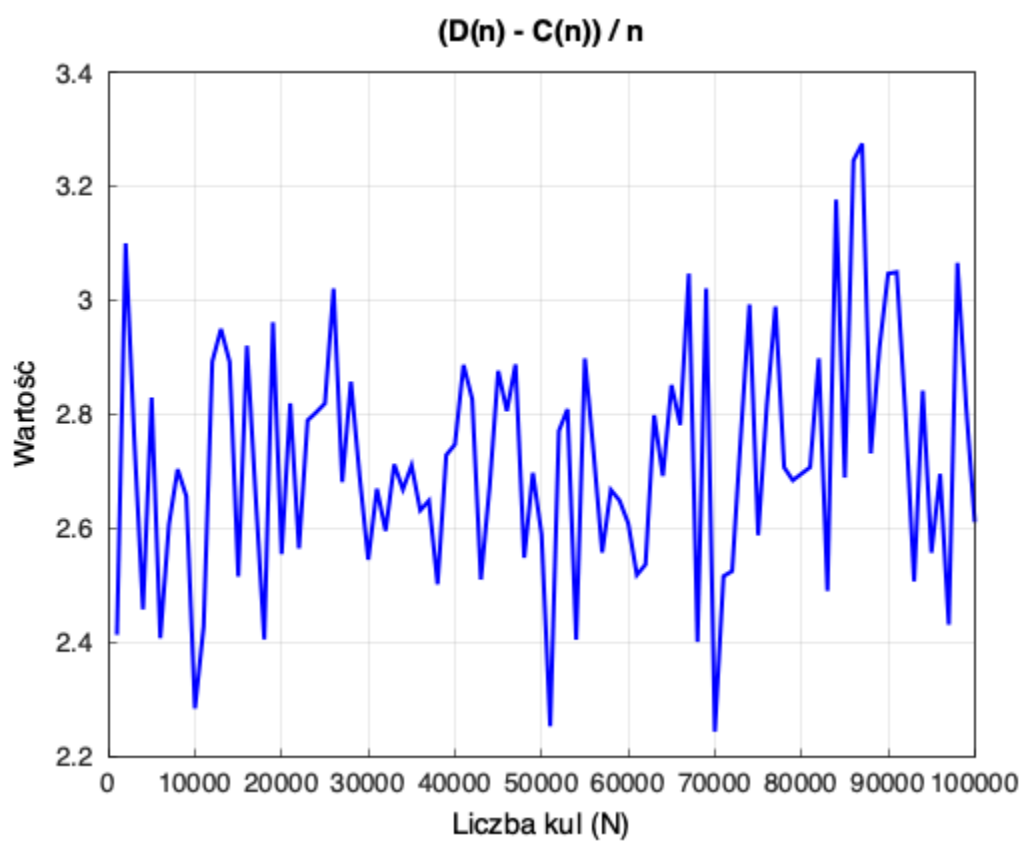
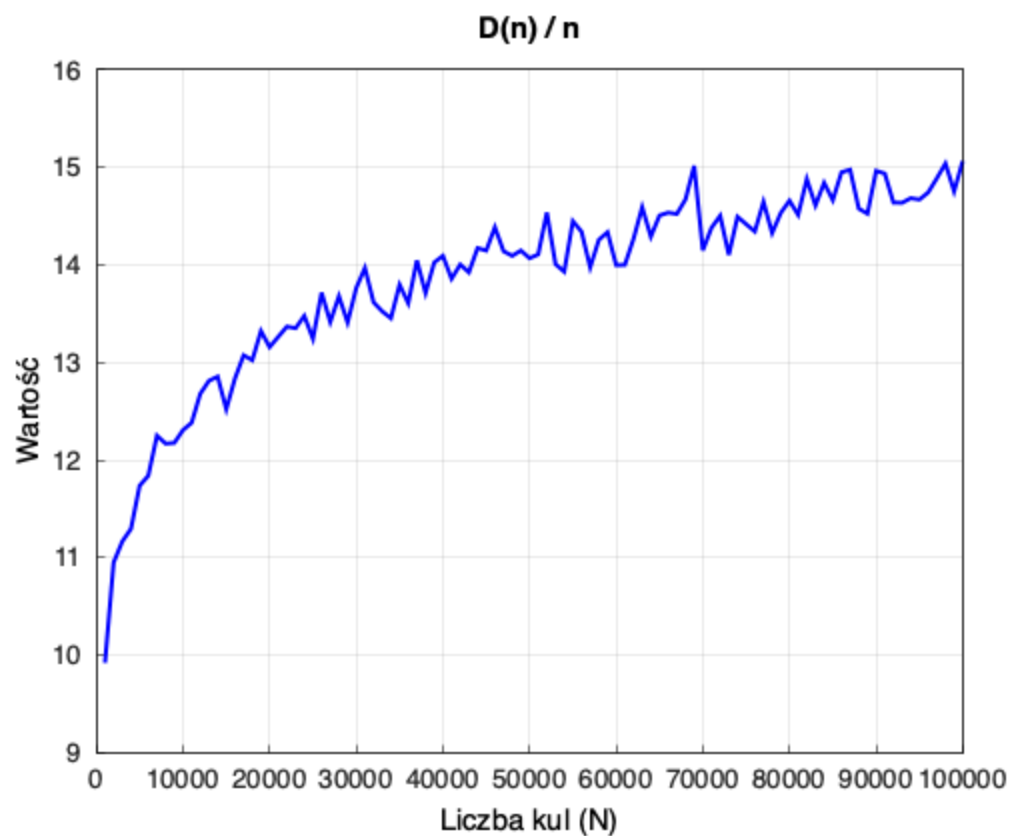
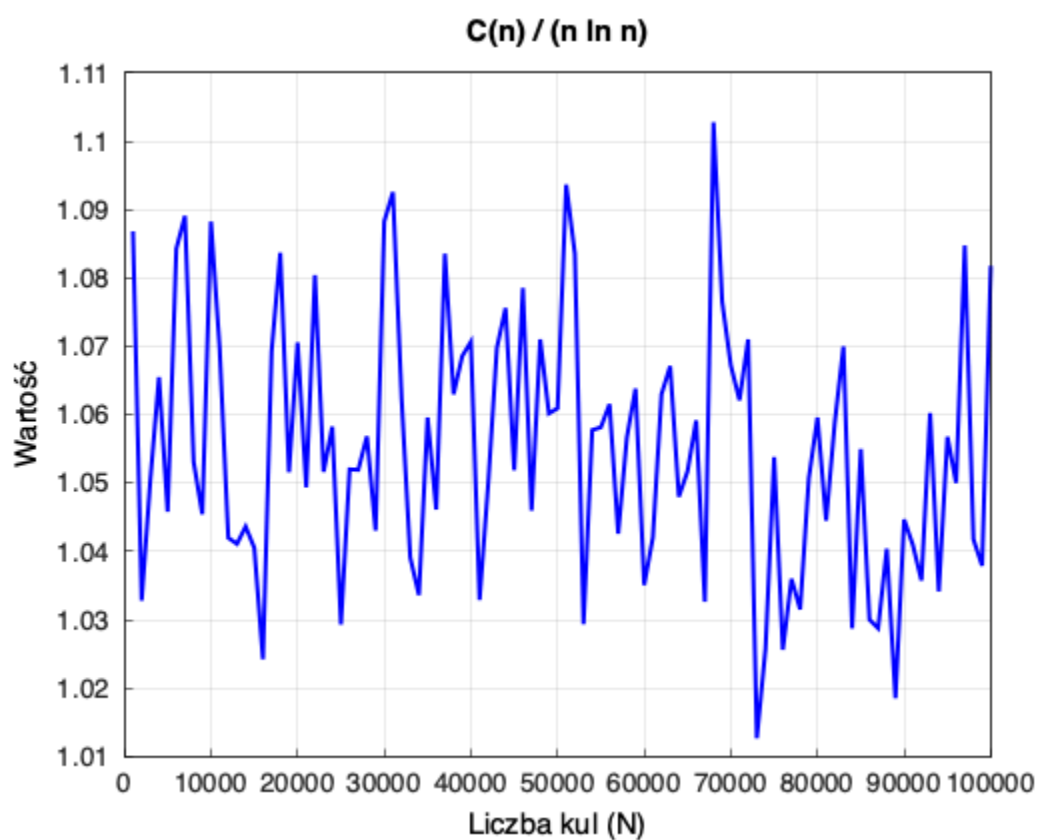
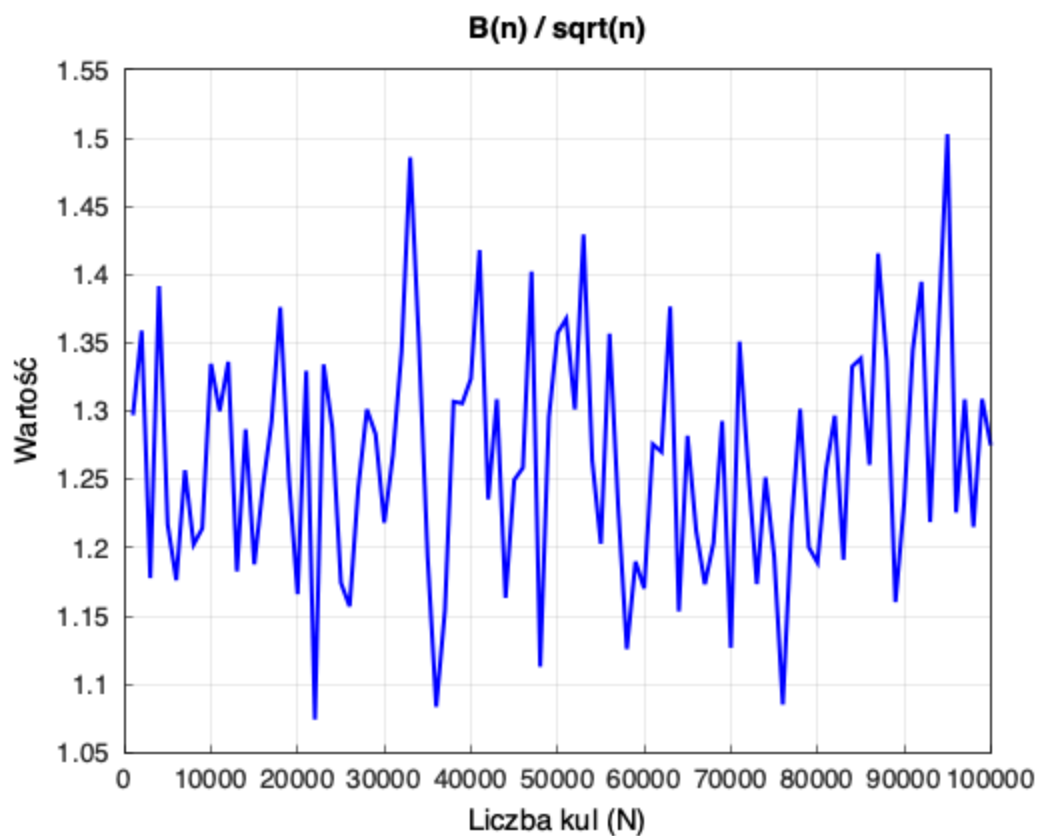


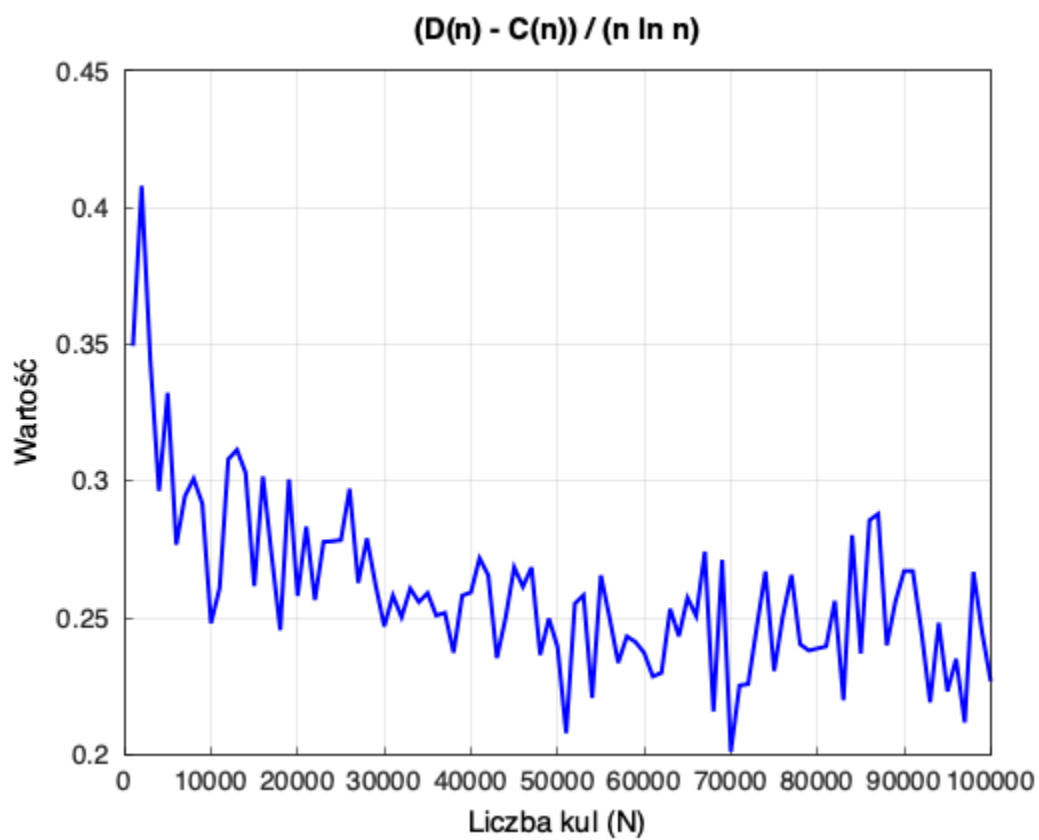
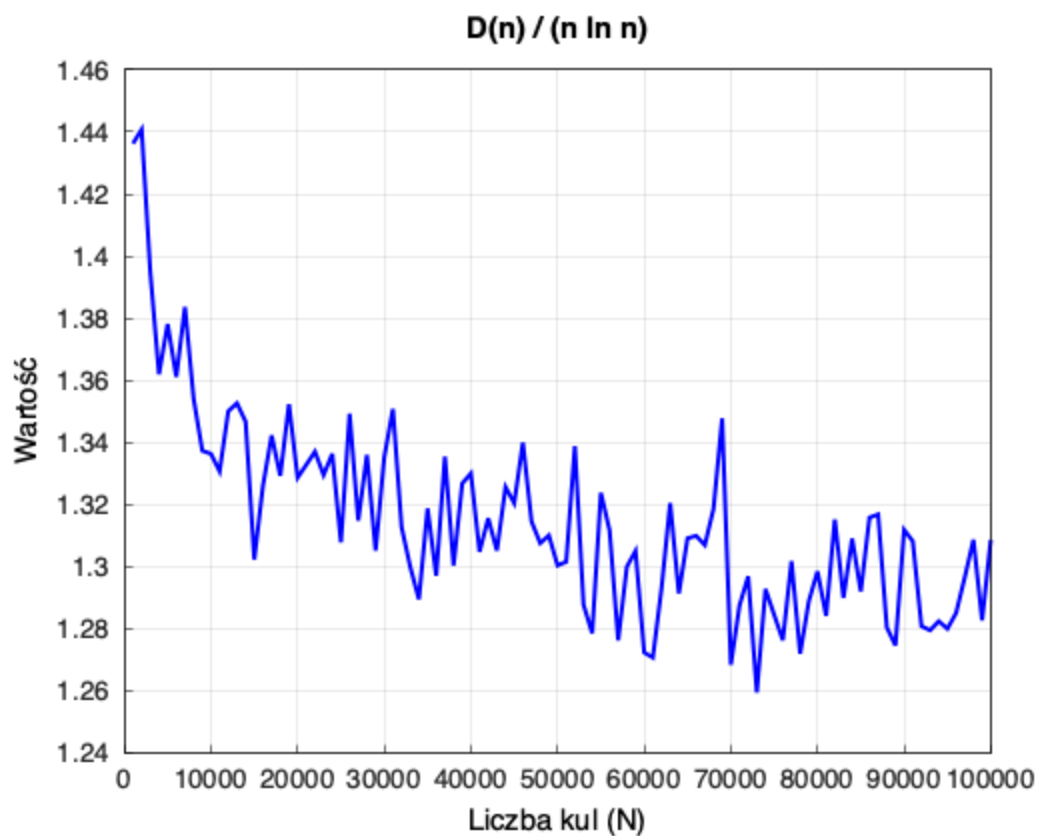
Homework2
Anna Grelewska
Sprawozdanie

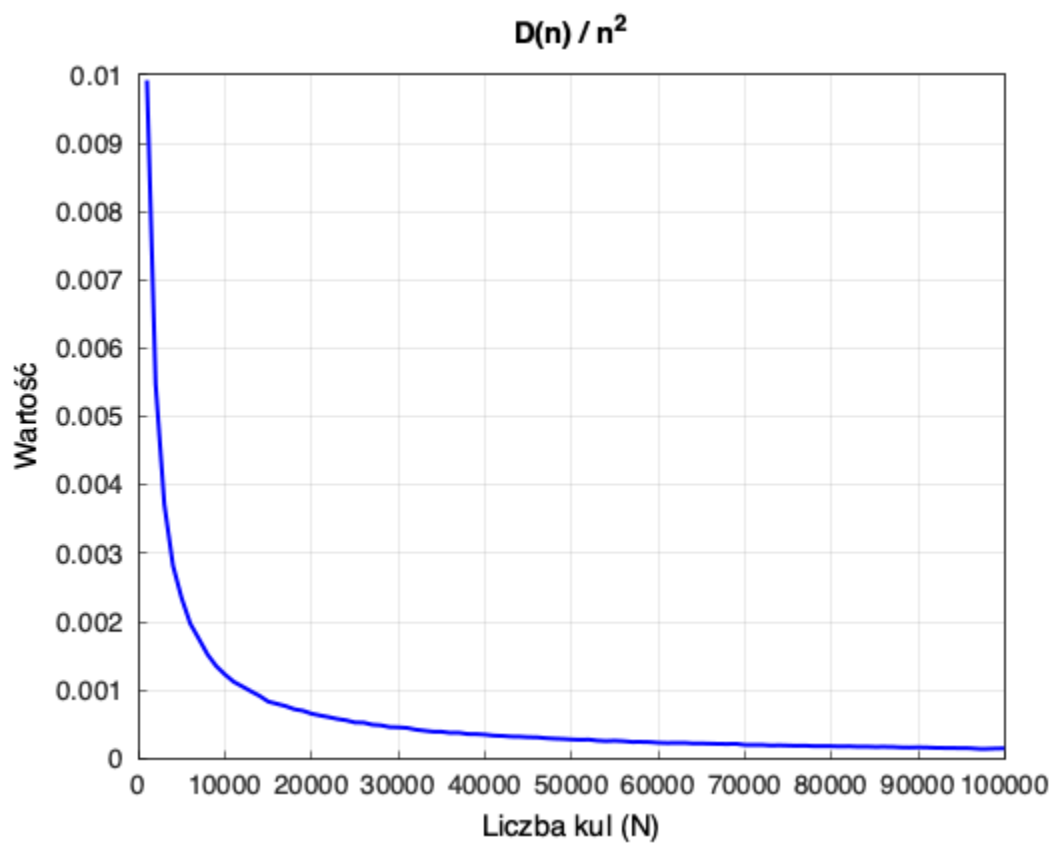
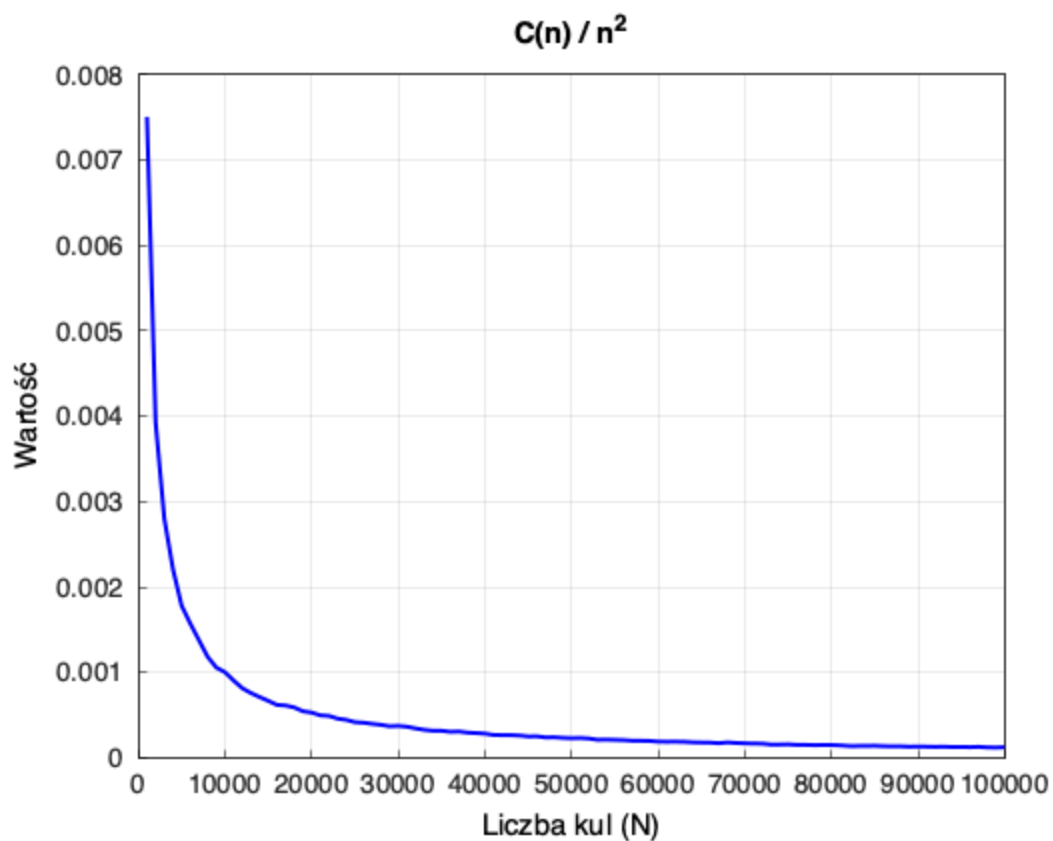


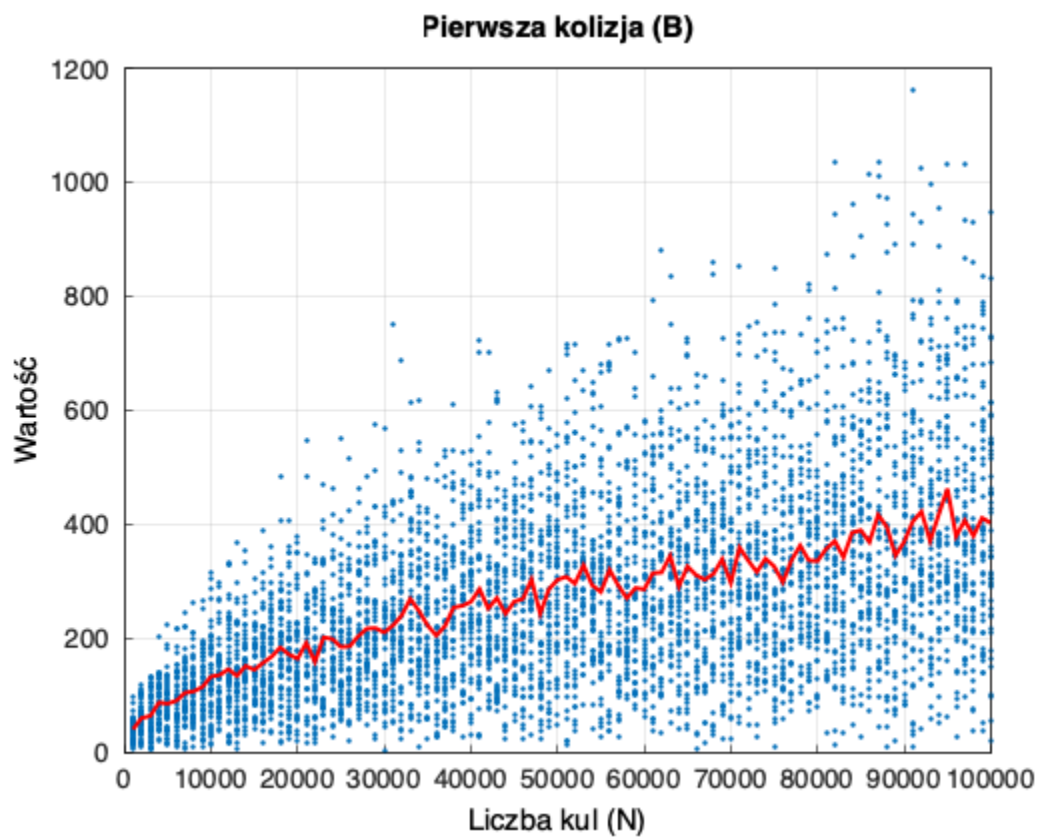
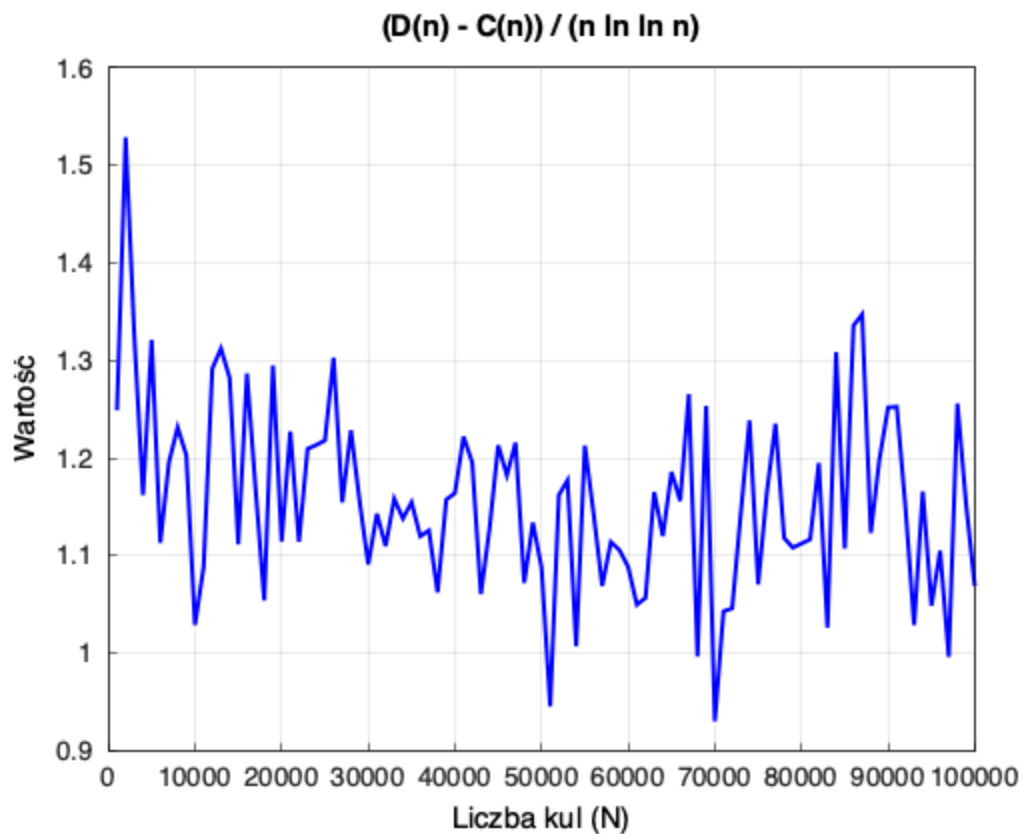




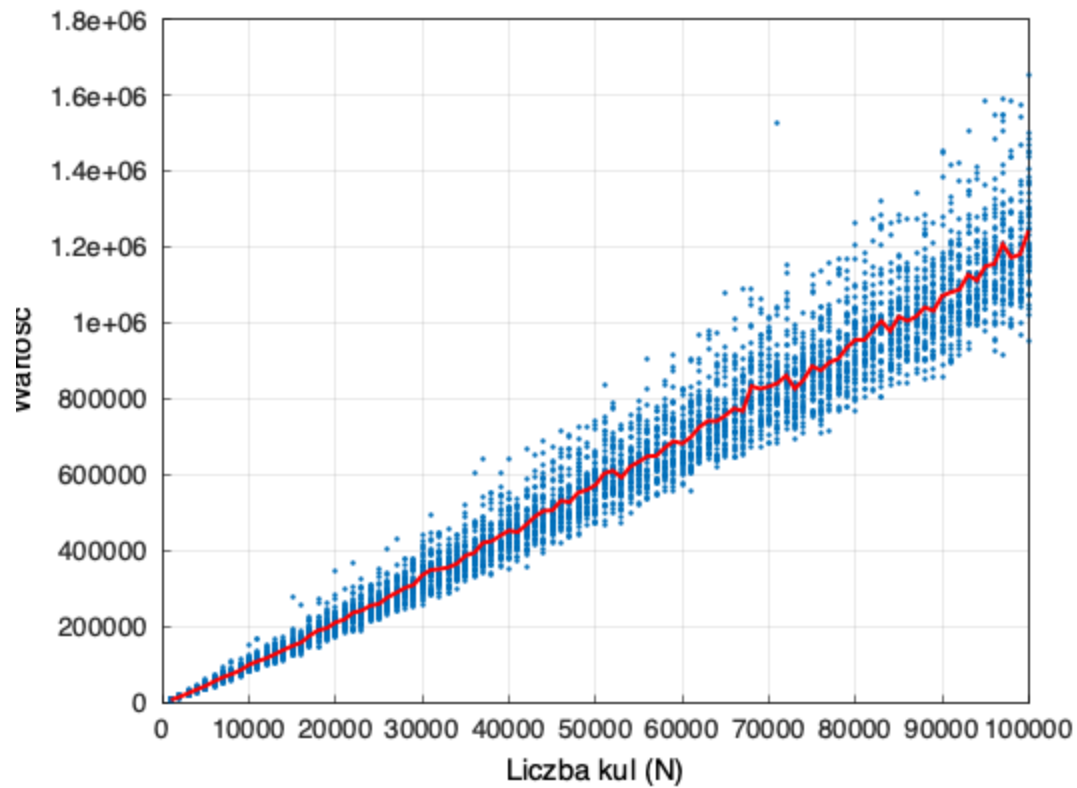




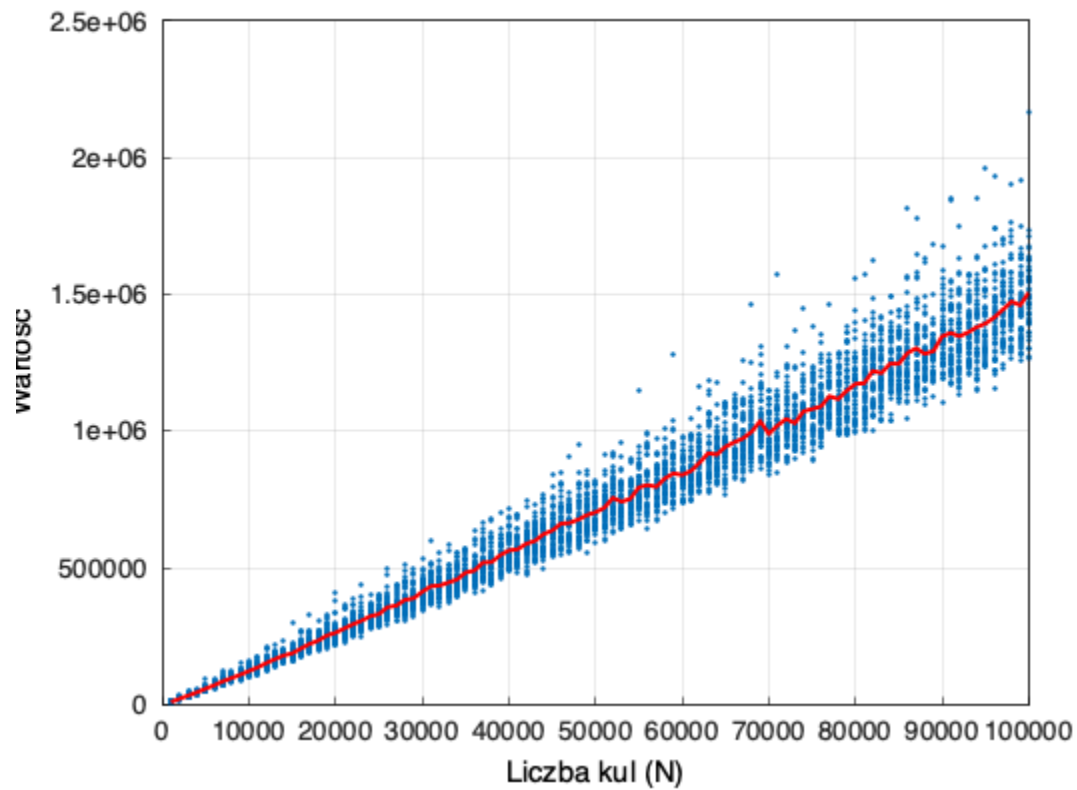


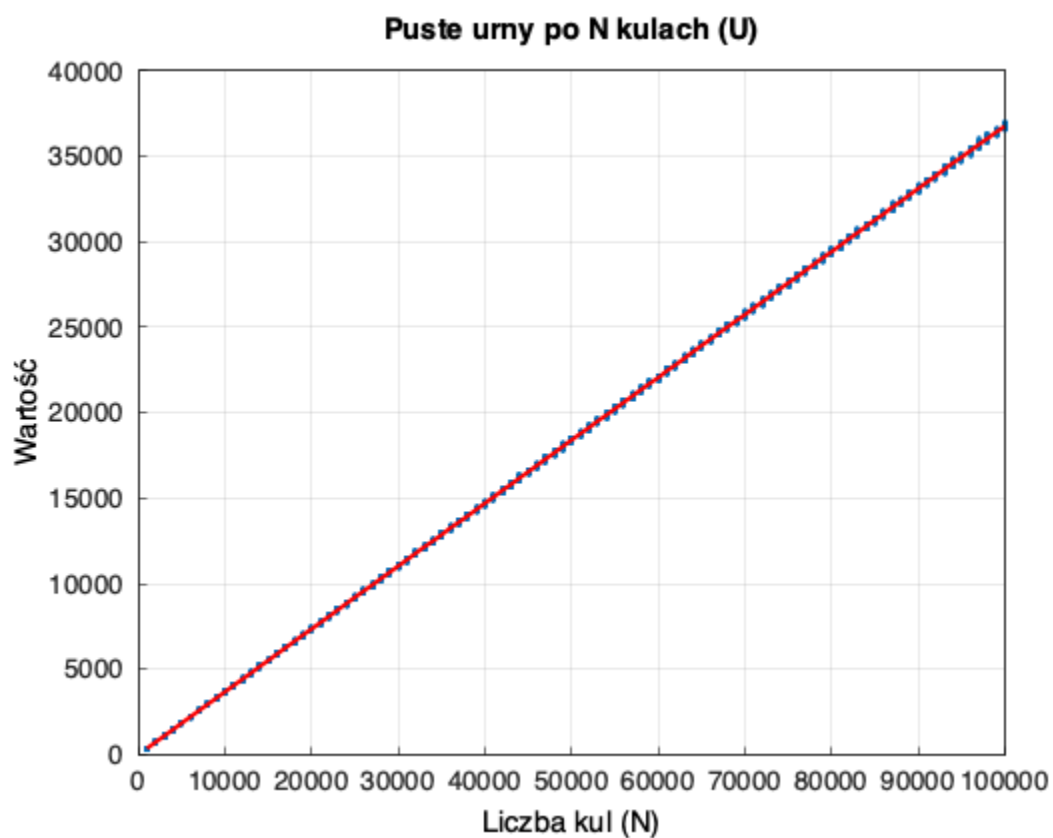
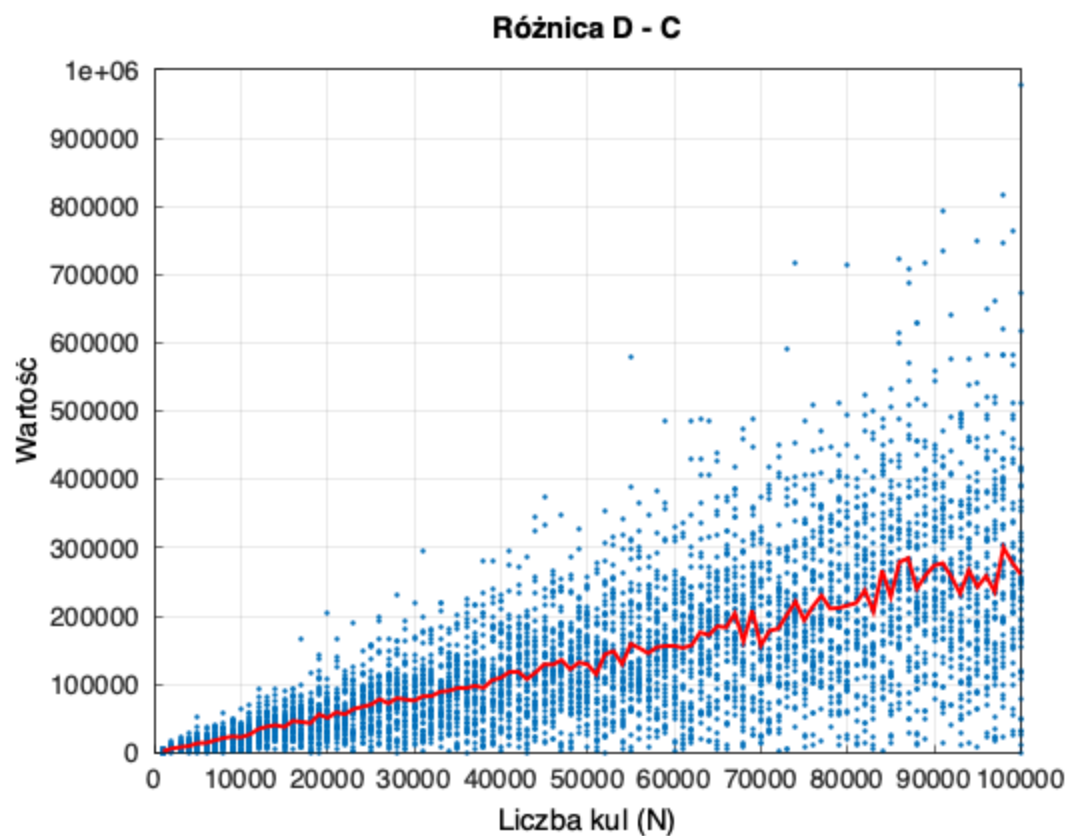


Każda urna z co najmniej jedną kulą (C)



Każda urna z co najmniej dwiema kulami (D)





Celem zadania było zbadanie klasycznego modelu probabilistycznego kul i urn, polegającego na losowym wrzucaniu kul do urn. Na podstawie przeprowadzonych symulacji miały zostać wyznaczone następujące wielkości:

1. B_n – moment pierwszej kolizji (ang. birthday paradox),
2. U_n – liczba pustych urn po wrzuceniu n kul,
3. C_n – minimalna liczba rzutów potrzebna do wypełnienia wszystkich urn (ang. coupon collector's problem),
4. D_n – minimalna liczba rzutów potrzebna do tego, aby każda urna zawierała co najmniej dwie kule,
5. $D_n - C_n$ – różnica między D_n a C_n .

Symulacje zostały wykonane dla $n \in \{1000, 2000, \dots, 100000\}$, a każdy eksperyment powtarzany był 50 razy.

Analiza wyników

B_n – Moment pierwszej kolizji

Pierwsza kolizja zachodzi bardzo szybko. Wykres $B(n) / \sqrt{n}$ pokazuje stabilizację wokół 1, co oznacza, że $B_n \sim \sqrt{n}$. Wyniki są zgodne z paradoksem urodzinowym, który przewiduje szybkie wystąpienie kolizji. Pojedyncze pomiary B_n mogą być bardzo odległe od średniej – nawet dziesięciokrotnie mniejsze lub większe.

U_n – Liczba pustych urn

Liczba pustych urn rośnie liniowo wraz z n . Wykres $U(n) / n$ stabilizuje się w przedziale 0.365 - 0.370, co pokazuje, że asymptotycznie $U_n \sim 0.37 \cdot n$. Poszczególne wyniki są bardzo blisko średniej, co czyni je niemal niewidocznymi na wykresach.

C_n – Liczba rzutów do wypełnienia urn

C_n rośnie logarytmicznie z n . Na wykresie $C(n) / (n \ln n)$ widać oscylacje wokół 1, co potwierdza, że $C_n \sim n \ln n$. Wyniki te dobrze ilustrują problem kolekcjonera kuponów. Warto zauważyć, że wyniki są bliższe średniej niż w przypadku B_n , ale z czasem odchylenie od średniej rośnie.

D_n – Liczba rzutów do wypełnienia urn co najmniej dwiema kulami

D_n zachowuje się podobnie jak C_n , ale osiąga większe wartości. Iloraz $D(n) / (n \ln n)$ oscyluje wokół 1, co wskazuje na proporcję $D_n \sim n \ln n$. Różnice między poszczególnymi wynikami są większe niż w przypadku C_n , szczególnie dla mniejszych wartości n .

$D_n - C_n$ – Różnica między D_n a C_n

Różnica $D_n - C_n$ dla mniejszych n wykazuje większą zmienność, ale z czasem stabilizuje się. Na wykresie $(D(n) - C(n)) / (n \ln \ln n)$ wartości zbliżają się do 1, co sugeruje, że $D_n - C_n \sim n \ln \ln n$. Jest to związane z tym, że już w momencie osiągnięcia C_n wiele urn zawiera więcej niż jedną kulę.

Asymptotyka wyników

1. B_n – Stabilizacja wokół $B(n) / \sqrt{n}$ potwierdza asymptotykę $\Theta(\sqrt{n})$. Wyniki są rozproszone, ale bliskie linii średniej.
2. U_n – Wyniki $U(n) / n$ wskazują na asymptotykę $\Theta(n)$ i bardzo dokładnie odzwierciedlają teoretyczne przewidywania.
3. C_n – Wykres $C(n) / (n \ln n)$ pokazuje, że asymptotyka tej wielkości to $\Theta(n \ln n)$. Punkty na wykresie są blisko linii średniej.
4. D_n – Wyniki $D(n) / (n \ln n)$ również potwierdzają asymptotykę $\Theta(n \ln n)$, choć z większymi odchyleniami niż w przypadku C_n .
5. $D_n - C_n$ – Funkcja $(D(n) - C(n)) / (n \ln \ln n)$ sugeruje asymptotykę $\Theta(n \ln \ln n)$, co jest zgodne z oczekiwaniami teoretycznymi.

Wnioski

- Wyniki symulacji dobrze ilustrują badane wielkości i wykazują zgodność z teoretycznymi przewidywaniami.
- Koncentracja wyników wokół średnich jest różna w zależności od wielkości – U_n są niemal idealnie skupione, podczas gdy B_n i różnica $D_n - C_n$ wykazują największe odchylenia.
- Wszystkie badane wielkości zachowują asymptotyczne zależności: $B_n \sim \sqrt{n}$, $U_n \sim 0.37 \cdot n$, $C_n \sim n \ln n$, $D_n \sim n \ln n$, $D_n - C_n \sim n \ln \ln n$.

Znaczenie nazw:

- Paradoxs urodzinowy: Pokazuje, jak szybko dochodzi do kolizji. Wyniki dla B_n ilustrują, że prawdopodobieństwo kolizji rośnie szybciej, niż wynika to z intuicji.
- Problem kolekcjonera kuponów: Liczba rzutów C_n , potrzebna do wypełnienia wszystkich urn, odpowiada liczbie losowań wymaganych do zebrania wszystkich elementów w zestawie, co jest analogiczne do zbierania kuponów.

Zastosowanie w kryptografii:

- Paradoxs urodzinowy pokazuje, że kolizje w funkcjach hashujących mogą wystąpić z większym prawdopodobieństwem, niż intuicyjnie się wydaje. Jest to kluczowe w projektowaniu funkcji hashujących oraz systemów kryptograficznych, gdzie unikanie kolizji ma fundamentalne znaczenie.